

Eingabe: Farbmatisches Offset-Reflektiv-System ORS18

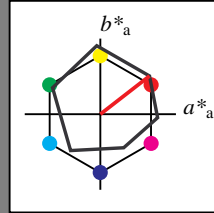
für Buntton $h^* = lab^*h = 38/360 = 0.105$

lab^*tch und lab^*nch

D65: Buntton O

LCH*Ma: 48 82 38

olv*Ma: 1.0 0.0 0.0



ORS18; adaptierte CIELAB-Daten

	$L^*=L^*_a$	a^*_a	b^*_a	$C^*_{ab,a}$	$h^*_{ab,a}$
O_m	47.94	65.05	50.54	82.38	38
Y_m	91.0	-4.72	90.58	90.7	93
L_m	50.9	-63.18	34.98	72.22	151
C_m	56.99	-39.34	-48.1	62.16	231
V_m	25.72	30.89	-44.4	54.09	305
M_m	49.99	75.76	-4.64	75.9	356
N_m	18.09	0.0	0.0	0.0	0
W_m	95.46	0.0	0.0	0.0	0
$RCIE$	41.88	61.66	30.69	68.88	26
J_{CIE}	81.97	2.02	67.79	67.82	88
G_{CIE}	51.62	-41.32	9.74	42.46	167
B_{CIE}	29.2	-5.79	-49.61	49.96	263

Dreiecks-Helligkeit t^*

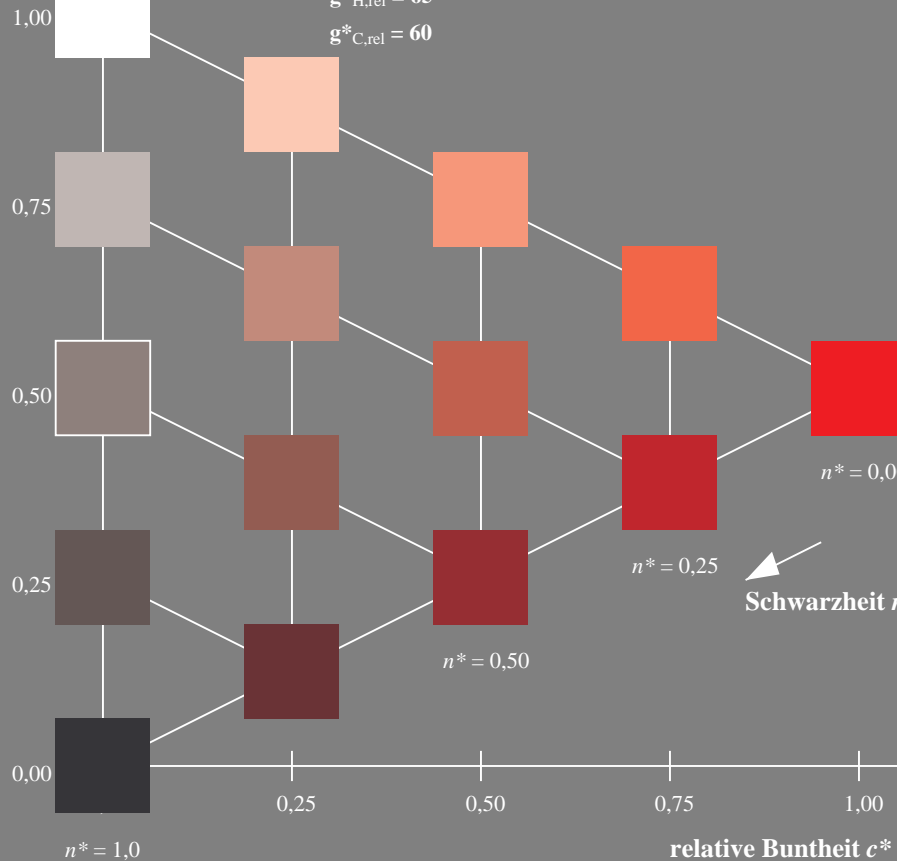
%Umfang

$u^*_{rel} = 94$

%Regularität

$g^*_{H,rel} = 65$

$g^*_{C,rel} = 60$



QG200-7, 5 stufige Reihen für konstanten CIELAB Buntton 38/360 = 0.105 (links)

Ausgabe: Farbmatisches Fernseh-Licht-System TLS00

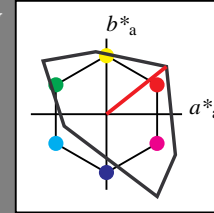
für Buntton $h^* = lab^*h = 38/360 = 0.107$

LAB^*LCH, LAB^*NCH

D65: Buntton O

LCH*Ma: 54 101 38

olv*Ma: 1.0 0.0 0.0



TLS00; adaptierte CIELAB-Daten

	$L^*=L^*_a$	a^*_a	b^*_a	$C^*_{ab,a}$	$h^*_{ab,a}$
O_m	54.19	79.36	63.0	101.33	38
Y_m	93.44	-14.18	82.59	83.8	100
L_m	82.82	-83.73	70.41	109.41	140
C_m	85.22	-55.9	-15.78	58.1	196
V_m	25.61	67.05	-108.87	127.87	302
M_m	58.76	91.18	-53.69	105.82	330
N_m	0.01	0.0	0.0	0.0	0
W_m	95.41	0.0	0.0	0.0	0
$RCIE$	41.88	62.0	31.82	69.69	27
J_{CIE}	81.97	1.81	71.59	71.61	89
G_{CIE}	51.62	-41.11	11.52	42.7	164
B_{CIE}	29.2	-5.27	-49.33	49.62	264

CIELAB-Helligkeit L^*

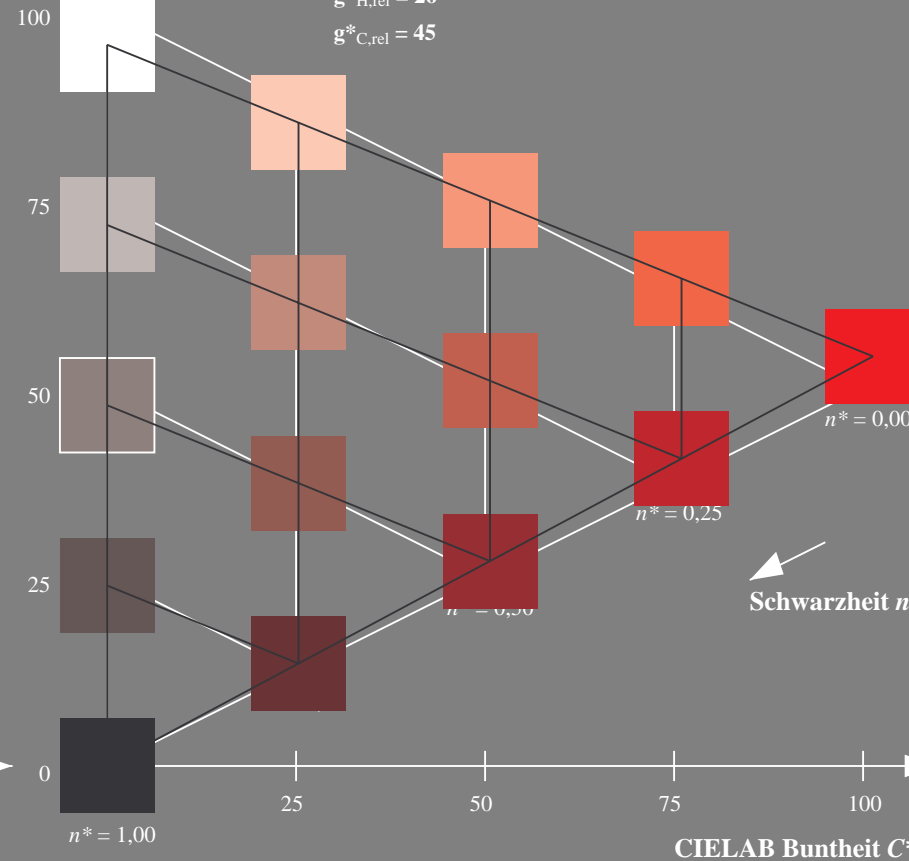
%Umfang

$u^*_{rel} = 156$

%Regularität

$g^*_{H,rel} = 26$

$g^*_{C,rel} = 45$



5 stufige Reihen für konstanten CIELAB Buntton 38/360 = 0.107 (rechts)

Eingabe: Farbmatisches Offset-Reflektiv-System ORS18

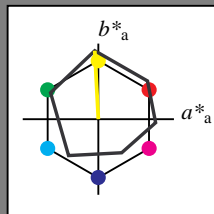
für Buntton $h^* = lab^*h = 93/360 = 0.258$

lab^*tch und lab^*nch

D65: Buntton Y

LCH*Ma: 91 91 93

olv*Ma: 1.0 1.0 0.0



ORS18; adaptierte CIELAB-Daten

	$L^*=L^*_a$	a^*_a	b^*_a	$C^*_{ab,a}$	$h^*_{ab,a}$
O_m	47.94	65.05	50.54	82.38	38
Y_m	91.0	-4.72	90.58	90.7	93
L_m	50.9	-63.18	34.98	72.22	151
C_m	56.99	-39.34	-48.1	62.16	231
V_m	25.72	30.89	-44.4	54.09	305
M_m	49.99	75.76	-4.64	75.9	356
N_m	18.09	0.0	0.0	0.0	0
W_m	95.46	0.0	0.0	0.0	0
$RCIE$	41.88	61.66	30.69	68.88	26
J_{CIE}	81.97	2.02	67.79	67.82	88
G_{CIE}	51.62	-41.32	9.74	42.46	167
B_{CIE}	29.2	-5.79	-49.61	49.96	263

Dreiecks-Helligkeit t^*

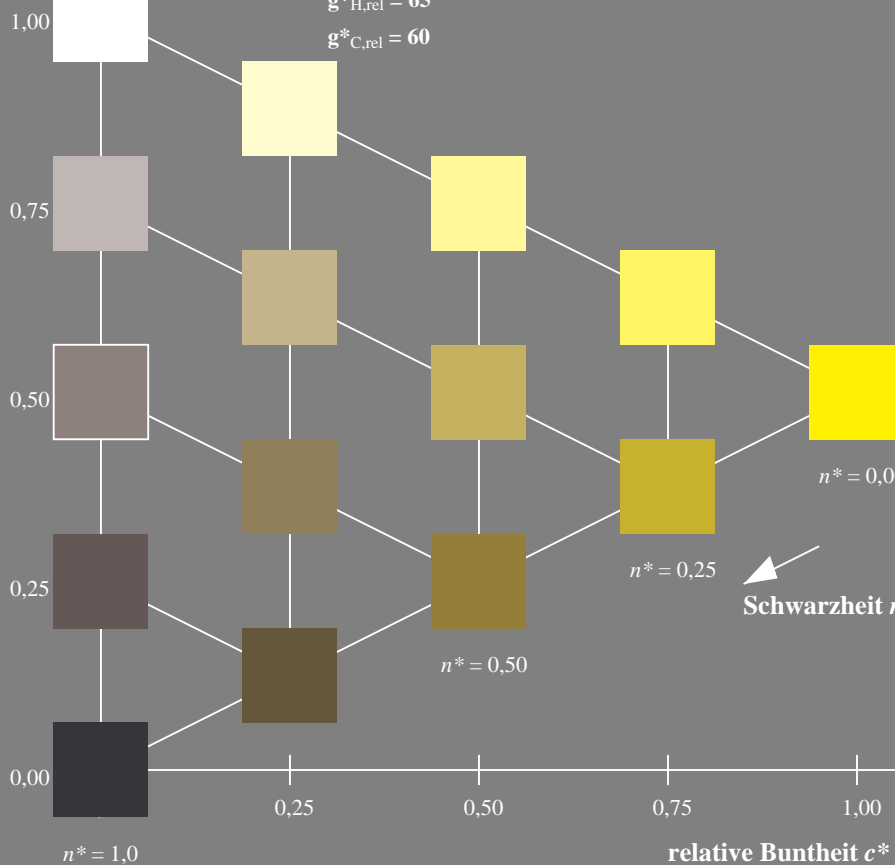
%Umfang

$u^*_{rel} = 94$

%Regularität

$g^*_{H,rel} = 65$

$g^*_{C,rel} = 60$



QG200-7, 5 stufige Reihen für konstanten CIELAB Buntton 93/360 = 0.258 (links)

Ausgabe: Farbmatisches Fernseh-Licht-System TLS00

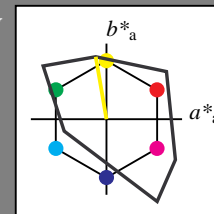
für Buntton $h^* = lab^*h = 100/360 = 0.277$

LAB^*LCH, LAB^*NCH

D65: Buntton Y

LCH*Ma: 93 84 100

olv*Ma: 1.0 1.0 0.0



TLS00; adaptierte CIELAB-Daten

	$L^*=L^*_a$	a^*_a	b^*_a	$C^*_{ab,a}$	$h^*_{ab,a}$
O_m	54.19	79.36	63.0	101.33	38
Y_m	93.44	-14.18	82.59	83.8	100
L_m	82.82	-83.73	70.41	109.41	140
C_m	85.22	-55.9	-15.78	58.1	196
V_m	25.61	67.05	-108.87	127.87	302
M_m	58.76	91.18	-53.69	105.82	330
N_m	0.01	0.0	0.0	0.0	0
W_m	95.41	0.0	0.0	0.0	0
$RCIE$	41.88	62.0	31.82	69.69	27
J_{CIE}	81.97	1.81	71.59	71.61	89
G_{CIE}	51.62	-41.11	11.52	42.7	164
B_{CIE}	29.2	-5.27	-49.33	49.62	264

CIELAB-Helligkeit L^*

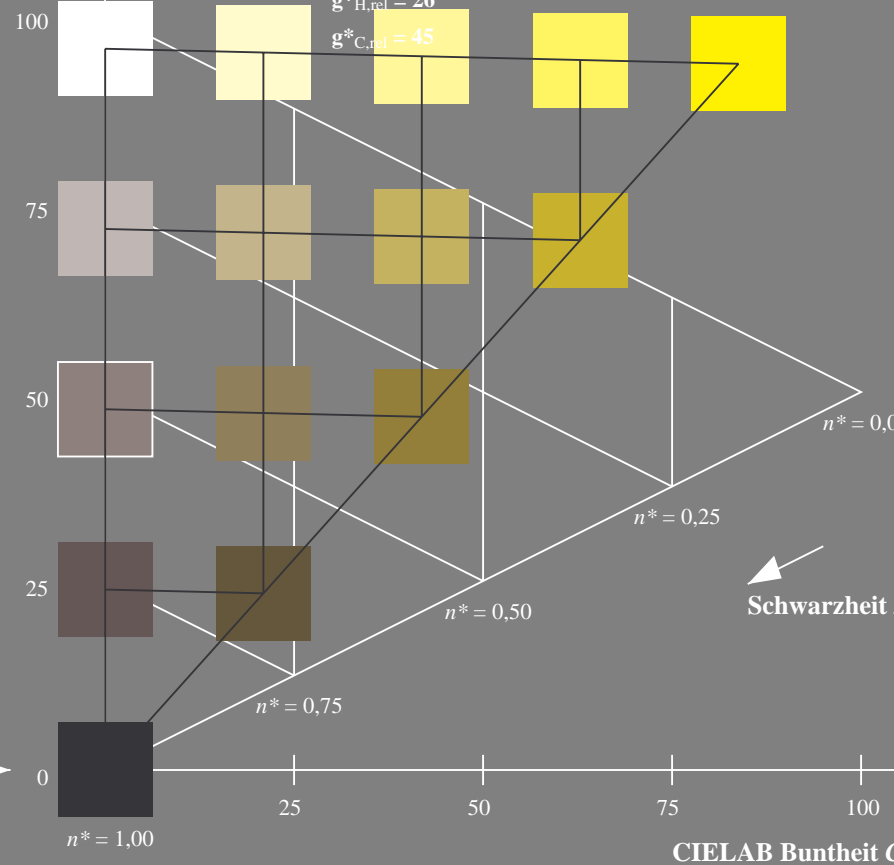
%Umfang

$u^*_{rel} = 156$

%Regularität

$g^*_{H,rel} = 26$

$g^*_{C,rel} = 45$



5 stufige Reihen für konstanten CIELAB Buntton 100/360 = 0.277 (rechts)

BAM-Prüfvorlage QG20; Farbmatrik-Systeme ORS18 & ORS18input: $cmY0^* setcmykcolor$

D50: Koordinatensysteme; 5stufige Farbreihen für 10 Bunttöne output: Startup (S) data dependend

Siehe ähnliche Dateien: <http://www.ps.bam.de/QG20/>
Technische Information: <http://www.ps.bam.de> Version 2.1, io=0,0?

BAM-Registrierung: 20060101-QG20/10L/L20G01SP.PS/.PDF BAM-Material: Code=rh4ta
Anwendung für Beurteilung und Messung von Drucker- oder Monitorssystemen
/QG20/ Form: 2/10, Serie: 1/1, Seite: 2
Satzung hlmg 2

Eingabe: Farbmétrisches Offset-Reflektiv-System ORS18

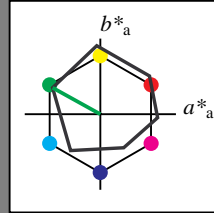
für Buntton $h^* = lab^*h = 151/360 = 0.42$

lab^*tch und lab^*nch

D65: Buntton L

LCH*Ma: 51 72 151

olv*Ma: 0.0 1.0 0.0



ORS18; adaptierte CIELAB-Daten

	$L^*=L^*_a$	a^*_a	b^*_a	$C^*_{ab,a}$	$h^*_{ab,a}$
O_m	47.94	65.05	50.54	82.38	38
Y_m	91.0	-4.72	90.58	90.7	93
L_m	50.9	-63.18	34.98	72.22	151
C_m	56.99	-39.34	-48.1	62.16	231
V_m	25.72	30.89	-44.4	54.09	305
M_m	49.99	75.76	-4.64	75.9	356
N_m	18.09	0.0	0.0	0.0	0
W_m	95.46	0.0	0.0	0.0	0
R_{CIE}	41.88	61.66	30.69	68.88	26
J_{CIE}	81.97	2.02	67.79	67.82	88
G_{CIE}	51.62	-41.32	9.74	42.46	167
B_{CIE}	29.2	-5.79	-49.61	49.96	263

Dreiecks-Helligkeit t^*

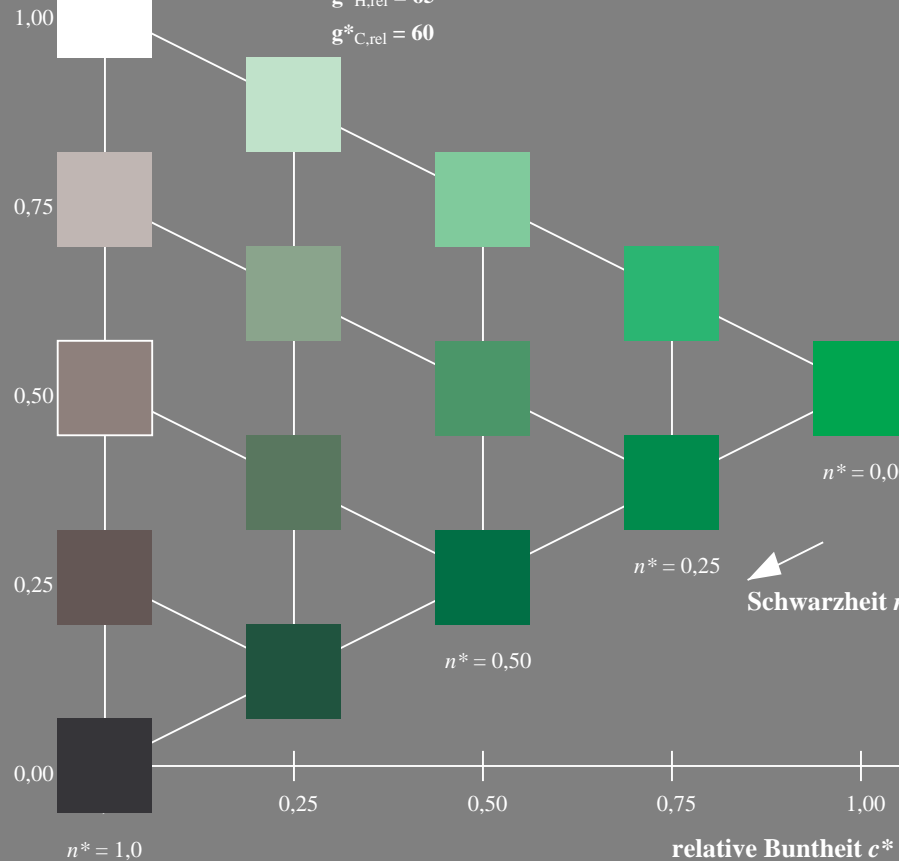
%Umfang

$u^*_{rel} = 94$

%Regularität

$g^*_{H,rel} = 65$

$g^*_{C,rel} = 60$



Ausgabe: Farbmétrisches Fernseh-Licht-System TLS00

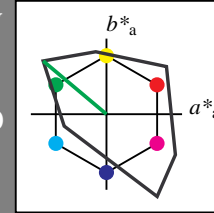
für Buntton $h^* = lab^*h = 140/360 = 0.389$

LAB^*LCH, LAB^*NCH

D65: Buntton L

LCH*Ma: 83 109 140

olv*Ma: 0.0 1.0 0.0



TLS00; adaptierte CIELAB-Daten

	$L^*=L^*_a$	a^*_a	b^*_a	$C^*_{ab,a}$	$h^*_{ab,a}$
O_m	54.19	79.36	63.0	101.33	38
Y_m	93.44	-14.18	82.59	83.8	100
L_m	82.82	-83.73	70.41	109.41	140
C_m	85.22	-55.9	-15.78	58.1	196
V_m	25.61	67.05	-108.87	127.87	302
M_m	58.76	91.18	-53.69	105.82	330
N_m	0.01	0.0	0.0	0.0	0
W_m	95.41	0.0	0.0	0.0	0
R_{CIE}	41.88	62.0	31.82	69.69	27
J_{CIE}	81.97	1.81	71.59	71.61	89
G_{CIE}	51.62	-41.11	11.52	42.7	164
B_{CIE}	29.2	-5.27	-49.33	49.62	264

CIELAB-Helligkeit L^*

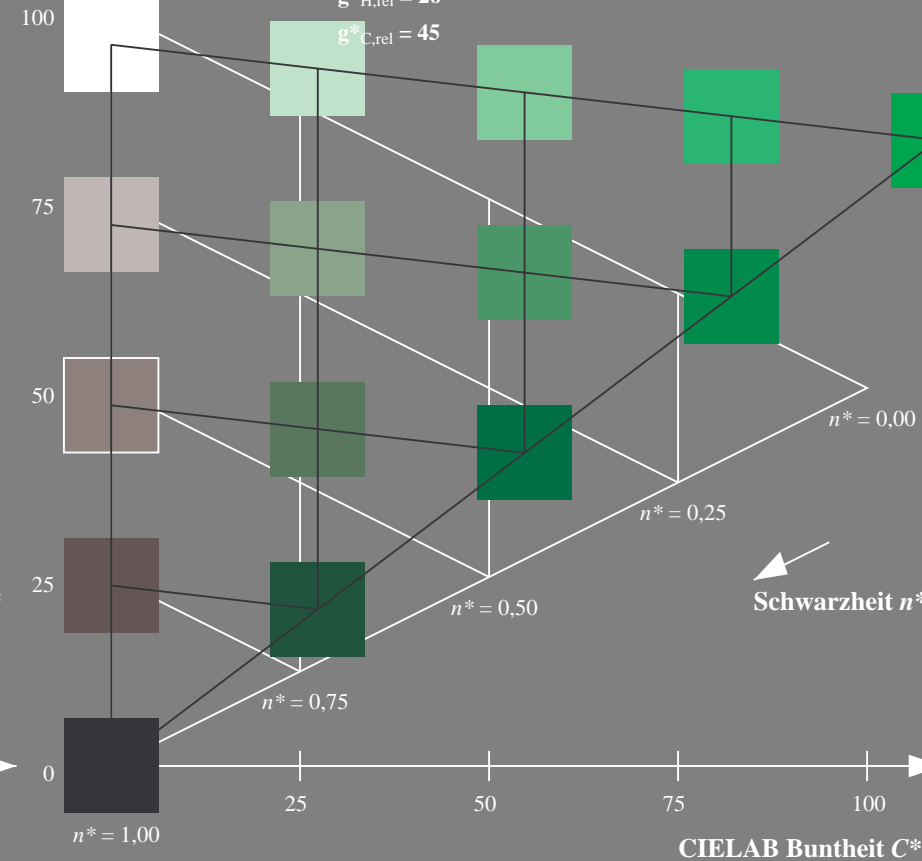
%Umfang

$u^*_{rel} = 156$

%Regularität

$g^*_{H,rel} = 26$

$g^*_{C,rel} = 45$



QG200-7, 5 stufige Reihen für konstanten CIELAB Buntton 151/360 = 0.42 (links)

5 stufige Reihen für konstanten CIELAB Buntton 140/360 = 0.389 (rechts)

BAM-Prüfvorlage QG20; Farbmétrik-Systeme ORS18 & ORS18input: $cmY0^* setcmykcolor$

D50: Koordinatensysteme; 5stufige Farbreihen für 10 Bunttöne output: Startup (S) data dependend

BAM-Registrierung: 20060101-QG20/10L/L20G02SP.PS/.PDF BAM-Material: Code=rh4ta
Anwendung für Beurteilung und Messung von Drucker- oder Monitorssystemen

/QG20/ Form: 3/10, Serie: 1/1, Seite: 3
Schenzhung 3

Eingabe: Farbmatisches Offset-Reflektiv-System ORS18

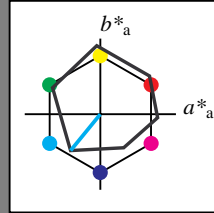
für Buntton $h^* = lab^*h = 231/360 = 0.641$

lab^*tch und lab^*nch

D65: Buntton C

LCH*Ma: 57 62 231

olv*Ma: 0.0 1.0 1.0



ORS18; adaptierte CIELAB-Daten

	$L^*=L^*_a$	a^*_a	b^*_a	$C^*_{ab,a}$	$h^*_{ab,a}$
O_m	47.94	65.05	50.54	82.38	38
Y_m	91.0	-4.72	90.58	90.7	93
L_m	50.9	-63.18	34.98	72.22	151
C_m	56.99	-39.34	-48.1	62.16	231
V_m	25.72	30.89	-44.4	54.09	305
M_m	49.99	75.76	-4.64	75.9	356
N_m	18.09	0.0	0.0	0.0	0
W_m	95.46	0.0	0.0	0.0	0
$RCIE$	41.88	61.66	30.69	68.88	26
J_{CIE}	81.97	2.02	67.79	67.82	88
G_{CIE}	51.62	-41.32	9.74	42.46	167
B_{CIE}	29.2	-5.79	-49.61	49.96	263

Dreiecks-Helligkeit t^*

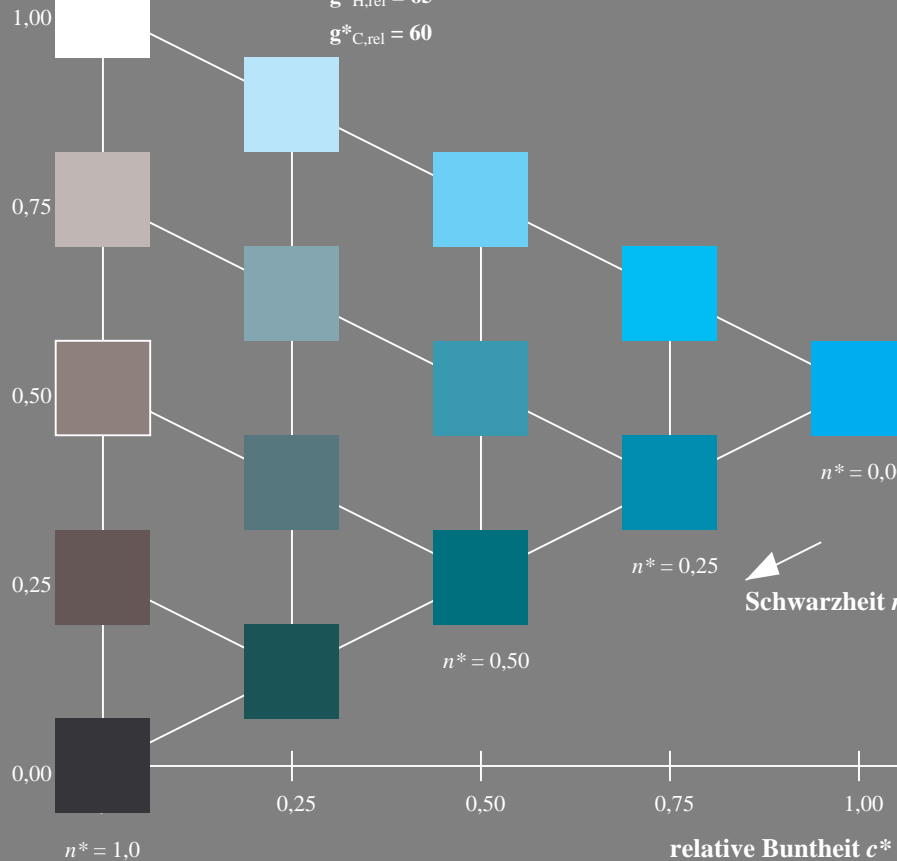
%Umfang

$u^*_{rel} = 94$

%Regularität

$g^*_{H,rel} = 65$

$g^*_{C,rel} = 60$



Ausgabe: Farbmatisches Fernseh-Licht-System TLS00

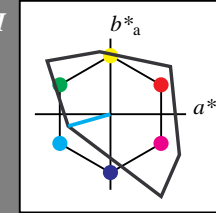
für Buntton $h^* = lab^*h = 196/360 = 0.544$

LAB^*LCH, LAB^*NCH

D65: Buntton C

LCH*Ma: 85 58 196

olv*Ma: 0.0 1.0 1.0



TLS00; adaptierte CIELAB-Daten

	$L^*=L^*_a$	a^*_a	b^*_a	$C^*_{ab,a}$	$h^*_{ab,a}$
O_m	54.19	79.36	63.0	101.33	38
Y_m	93.44	-14.18	82.59	83.8	100
L_m	82.82	-83.73	70.41	109.41	140
C_m	85.22	-55.9	-15.78	58.1	196
V_m	25.61	67.05	-108.87	127.87	302
M_m	58.76	91.18	-53.69	105.82	330
N_m	0.01	0.0	0.0	0.0	0
W_m	95.41	0.0	0.0	0.0	0
$RCIE$	41.88	62.0	31.82	69.69	27
J_{CIE}	81.97	1.81	71.59	71.61	89
G_{CIE}	51.62	-41.11	11.52	42.7	164
B_{CIE}	29.2	-5.27	-49.33	49.62	264

CIELAB-Helligkeit L^*

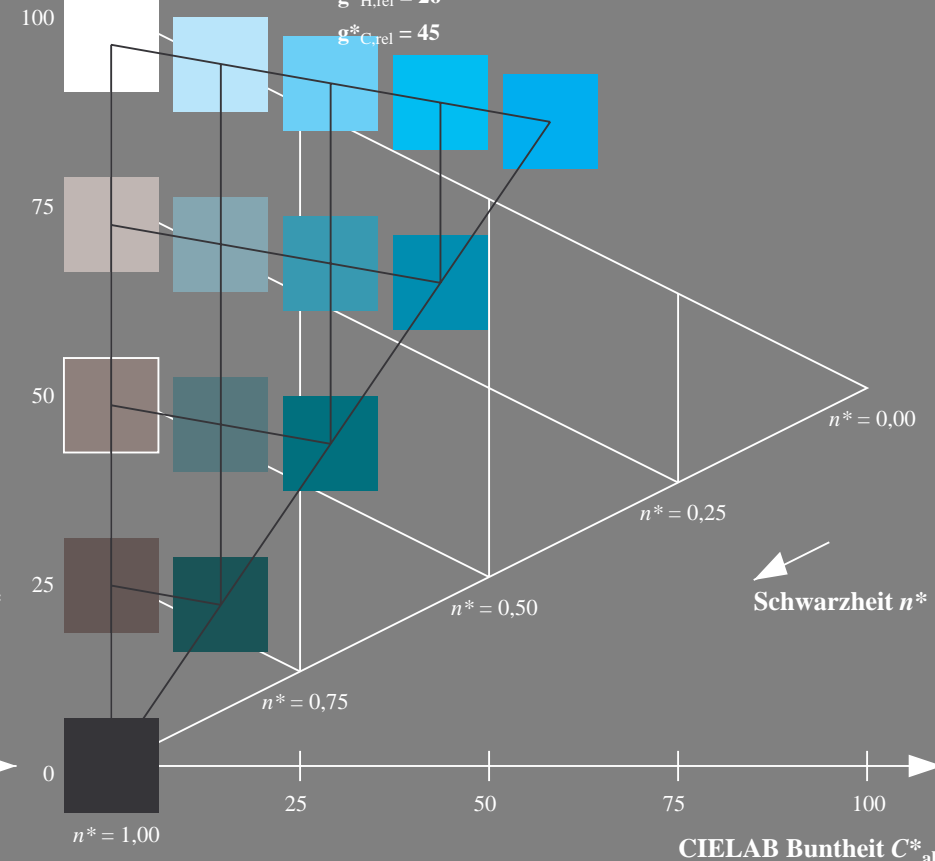
%Umfang

$u^*_{rel} = 156$

%Regularität

$g^*_{H,rel} = 26$

$g^*_{C,rel} = 45$



QG200-7, 5 stufige Reihen für konstanten CIELAB Buntton 231/360 = 0.641 (links)

5 stufige Reihen für konstanten CIELAB Buntton 196/360 = 0.544 (rechts)

BAM-Prüfvorlage QG20; Farbmatrik-Systeme ORS18 & ORS18input: *cmY0* setcmykcolor*

D50: Koordinatensysteme; 5stufige Farbreihen für 10 Bunttöne output: *Startup (S) data dependend*

Siehe ähnliche Dateien: <http://www.ps.bam.de/QG20/>
Technische Information: <http://www.ps.bam.de/Version 2.1, io=0,0?>

BAM-Registrierung: 20060101-QG20/10L/L20G03SP.PS/.PDF BAM-Material: Code=rh4ta
Anwendung für Beurteilung und Messung von Drucker- oder Monitorssystemen
/QG20/ Form: 4/10, Serie: 1/1, Seite: 4
Satzanz hlung 4

Eingabe: Farbmatisches Offset-Reflektiv-System ORS18

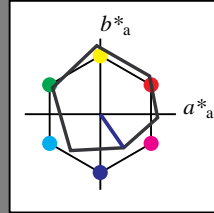
für Buntton $h^* = lab^*h = 305/360 = 0.847$

lab^*tch und lab^*nch

D65: Buntton V

LCH*Ma: 26 54 305

olv*Ma: 0.0 0.0 1.0



ORS18; adaptierte CIELAB-Daten

	$L^*=L^*_a$	a^*_a	b^*_a	$C^*_{ab,a}$	$h^*_{ab,a}$
O_m	47.94	65.05	50.54	82.38	38
Y_m	91.0	-4.72	90.58	90.7	93
L_m	50.9	-63.18	34.98	72.22	151
C_m	56.99	-39.34	-48.1	62.16	231
V_m	25.72	30.89	-44.4	54.09	305
M_m	49.99	75.76	-4.64	75.9	356
N_m	18.09	0.0	0.0	0.0	0
W_m	95.46	0.0	0.0	0.0	0
$RCIE$	41.88	61.66	30.69	68.88	26
J_{CIE}	81.97	2.02	67.79	67.82	88
G_{CIE}	51.62	-41.32	9.74	42.46	167
B_{CIE}	29.2	-5.79	-49.61	49.96	263

Dreiecks-Helligkeit t^*

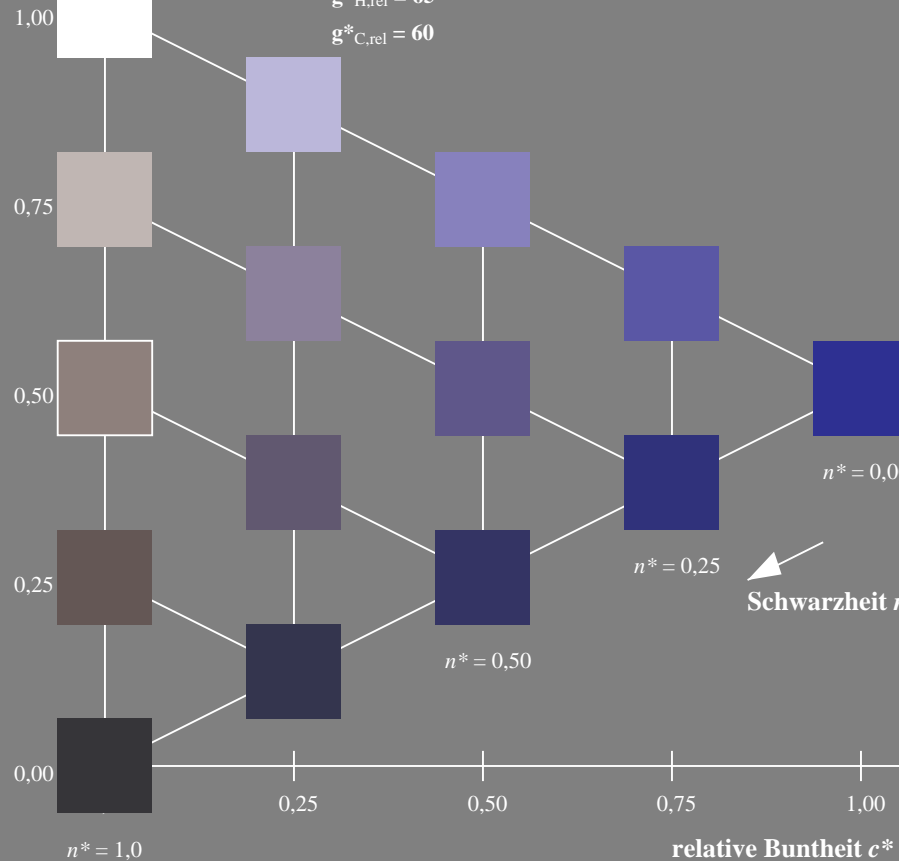
%Umfang

$u^*_{rel} = 94$

%Regularität

$g^*_{H,rel} = 65$

$g^*_{C,rel} = 60$



Ausgabe: Farbmatisches Fernseh-Licht-System TLS00

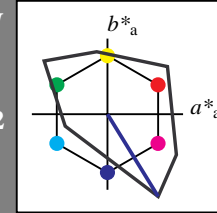
für Buntton $h^* = lab^*h = 302/360 = 0.838$

LAB^*LCH, LAB^*NCH

D65: Buntton V

LCH*Ma: 26 128 302

olv*Ma: 0.0 0.0 1.0



TLS00; adaptierte CIELAB-Daten

	$L^*=L^*_a$	a^*_a	b^*_a	$C^*_{ab,a}$	$h^*_{ab,a}$
O_m	54.19	79.36	63.0	101.33	38
Y_m	93.44	-14.18	82.59	83.8	100
L_m	82.82	-83.73	70.41	109.41	140
C_m	85.22	-55.9	-15.78	58.1	196
V_m	25.61	67.05	-108.87	127.87	302
M_m	58.76	91.18	-53.69	105.82	330
N_m	0.01	0.0	0.0	0.0	0
W_m	95.41	0.0	0.0	0.0	0
$RCIE$	41.88	62.0	31.82	69.69	27
J_{CIE}	81.97	1.81	71.59	71.61	89
G_{CIE}	51.62	-41.11	11.52	42.7	164
B_{CIE}	29.2	-5.27	-49.33	49.62	264

CIELAB-Helligkeit L^*

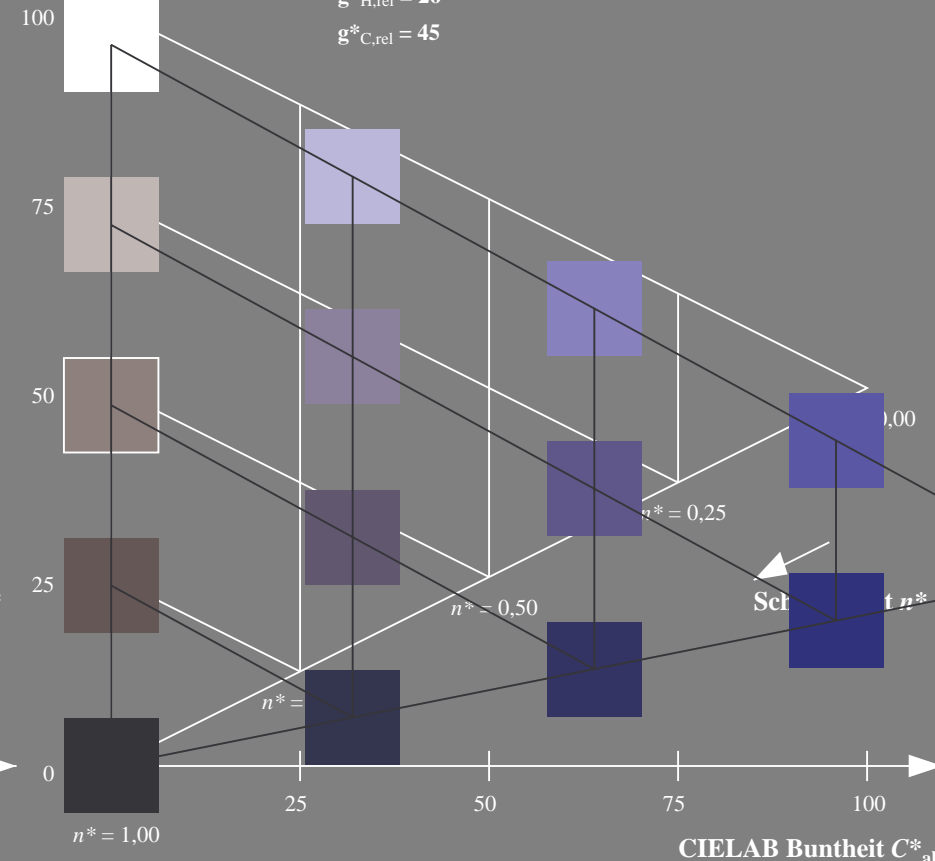
%Umfang

$u^*_{rel} = 156$

%Regularität

$g^*_{H,rel} = 26$

$g^*_{C,rel} = 45$



QG200-7, 5 stufige Reihen für konstanten CIELAB Buntton 305/360 = 0.847 (links)

5 stufige Reihen für konstanten CIELAB Buntton 302/360 = 0.838 (rechts)

BAM-Prüfvorlage QG20; Farbmatrik-Systeme ORS18 & ORS18input: $cmY0^* setcmykcolor$

D50: Koordinatensysteme; 5stufige Farbreihen für 10 Bunttöne output: Startup (S) data dependend

BAM-Registrierung: 20060101-QG20/10L/L20G04SP.PS/.PDF BAM-Material: Code=rh4ta
Anwendung für Beurteilung und Messung von Drucker- oder Monitorsystemen
/QG20/ Form: 5/16, Serie: 1/1, Seite: 5
Scheinung 5

Eingabe: Farbmétrisches Offset-Reflektiv-System ORS18

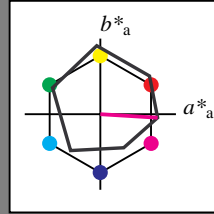
für Buntton $h^* = lab^*h = 356/360 = 0,99$

lab^*tch und lab^*nch

D65: Buntton M

LCH*Ma: 50 76 356

olv*Ma: 1.0 0.0 1.0



ORS18; adaptierte CIELAB-Daten

	$L^*=L^*_a$	a^*_a	b^*_a	$C^*_{ab,a}$	$h^*_{ab,a}$
O_m	47.94	65.05	50.54	82.38	38
Y_m	91.0	-4.72	90.58	90.7	93
L_m	50.9	-63.18	34.98	72.22	151
C_m	56.99	-39.34	-48.1	62.16	231
V_m	25.72	30.89	-44.4	54.09	305
M_m	49.99	75.76	-4.64	75.9	356
N_m	18.09	0.0	0.0	0.0	0
W_m	95.46	0.0	0.0	0.0	0
RC_{IE}	41.88	61.66	30.69	68.88	26
J_{CIE}	81.97	2.02	67.79	67.82	88
G_{CIE}	51.62	-41.32	9.74	42.46	167
B_{CIE}	29.2	-5.79	-49.61	49.96	263

Dreiecks-Helligkeit t^*

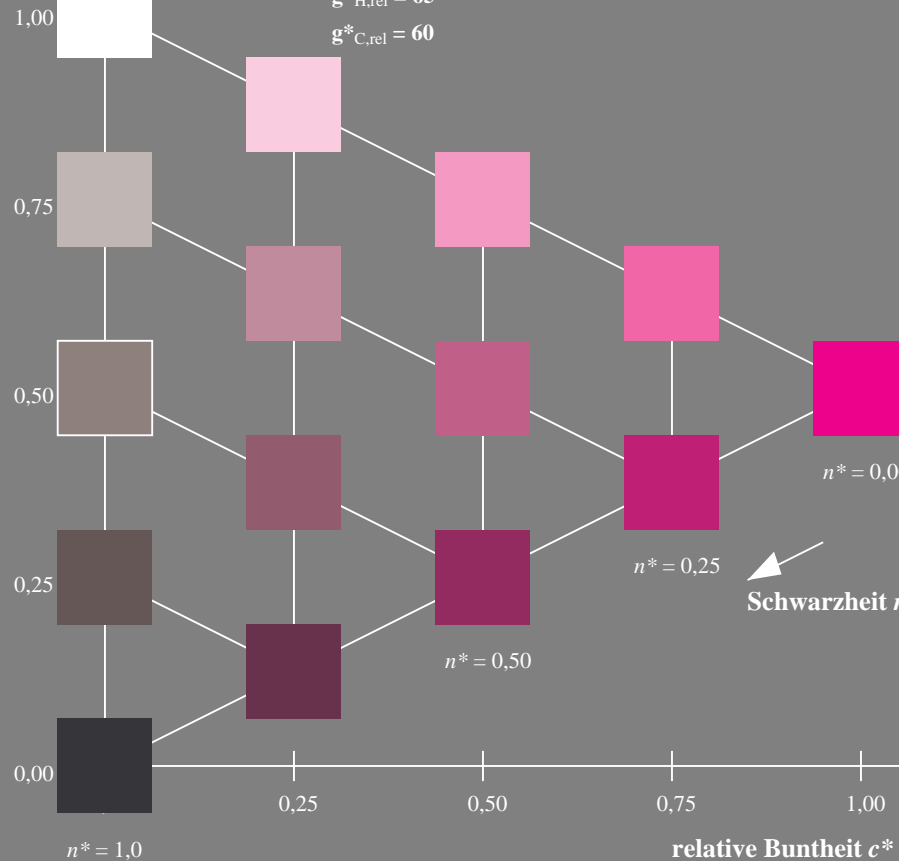
%Umfang

$u^*_{rel} = 94$

%Regularität

$g^*_{H,rel} = 65$

$g^*_{C,rel} = 60$



QG200-7, 5 stufige Reihen für konstanten CIELAB Bunnton $356/360 = 0,99$ (links)

Ausgabe: Farbmétrisches Fernseh-Licht-System TLS00

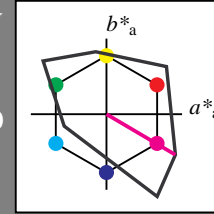
für Buntton $h^* = lab^*h = 330/360 = 0,915$

LAB^*LCH, LAB^*NCH

D65: Buntton M

LCH*Ma: 59 106 330

olv*Ma: 1.0 0.0 1.0



TLS00; adaptierte CIELAB-Daten

	$L^*=L^*_a$	a^*_a	b^*_a	$C^*_{ab,a}$	$h^*_{ab,a}$
O_m	54.19	79.36	63.0	101.33	38
Y_m	93.44	-14.18	82.59	83.8	100
L_m	82.82	-83.73	70.41	109.41	140
C_m	85.22	-55.9	-15.78	58.1	196
V_m	25.61	67.05	-108.87	127.87	302
M_m	58.76	91.18	-53.69	105.82	330
N_m	0.01	0.0	0.0	0.0	0
W_m	95.41	0.0	0.0	0.0	0
RC_{IE}	41.88	62.0	31.82	69.69	27
J_{CIE}	81.97	1.81	71.59	71.61	89
G_{CIE}	51.62	-41.11	11.52	42.7	164
B_{CIE}	29.2	-5.27	-49.33	49.62	264

CIELAB-Helligkeit L^*

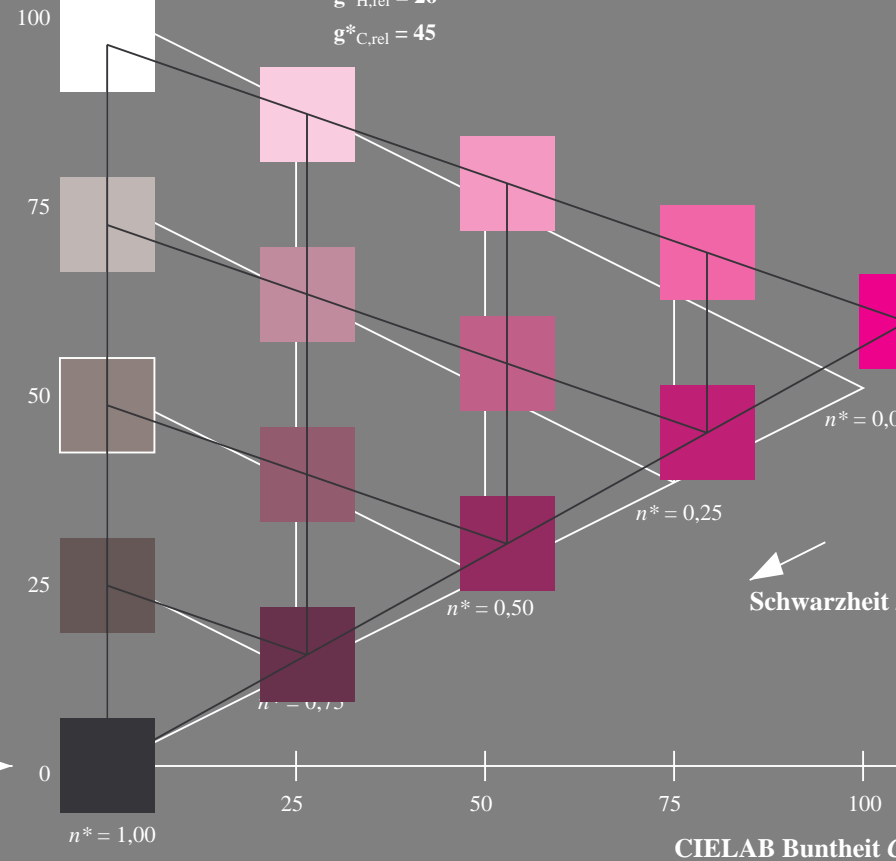
%Umfang

$u^*_{rel} = 156$

%Regularität

$g^*_{H,rel} = 26$

$g^*_{C,rel} = 45$



5 stufige Reihen für konstanten CIELAB Bunnton $330/360 = 0,915$ (rechts)

Eingabe: Farbmétrisches Offset-Reflektiv-System ORS18

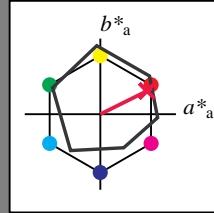
für Buntton $h^* = lab^*h = 26/360 = 0.074$

lab^*tch und lab^*nch

D65: Buntton R

LCH*Ma: 49 76 26

olv*Ma: 1.0 0.0 0.3



ORS18; adaptierte CIELAB-Daten

	$L^*=L^*_a$	a^*_a	b^*_a	$C^*_{ab,a}$	$h^*_{ab,a}$
O_m	47.94	65.05	50.54	82.38	38
Y_m	91.0	-4.72	90.58	90.7	93
L_m	50.9	-63.18	34.98	72.22	151
C_m	56.99	-39.34	-48.1	62.16	231
V_m	25.72	30.89	-44.4	54.09	305
M_m	49.99	75.76	-4.64	75.9	356
N_m	18.09	0.0	0.0	0.0	0
W_m	95.46	0.0	0.0	0.0	0
R_m	41.88	61.66	30.69	68.88	26
J_m	81.97	2.02	67.79	67.82	88
G_m	51.62	-41.32	9.74	42.46	167
B_m	29.2	-5.79	-49.61	49.96	263

Dreiecks-Helligkeit t^*

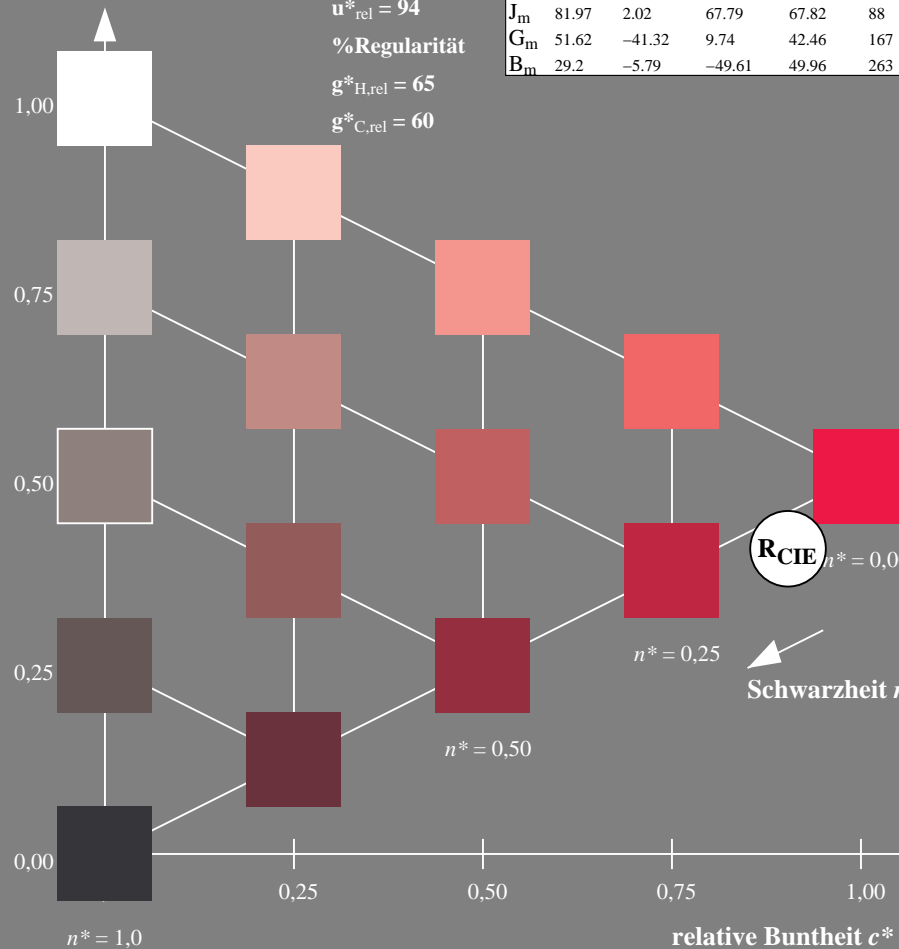
%Umfang

$u^*_{rel} = 94$

%Regularität

$g^*_{H,rel} = 65$

$g^*_{C,rel} = 60$



QG200-7, 5 stufige Reihen für konstanten CIELAB Buntton $26/360 = 0.074$ (links)

Ausgabe: Farbmétrisches Fernseh-Licht-System TLS00

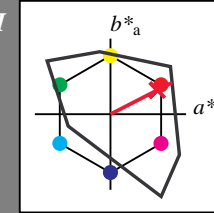
für Buntton $h^* = lab^*h = 27/360 = 0.075$

LAB^*LCH, LAB^*NCH

D65: Buntton R

LCH*Ma: 55 92 27

olv*Ma: 1.0 0.0 0.18



TLS00; adaptierte CIELAB-Daten

	$L^*=L^*_a$	a^*_a	b^*_a	$C^*_{ab,a}$	$h^*_{ab,a}$
O_m	54.19	79.36	63.0	101.33	38
Y_m	93.44	-14.18	82.59	83.8	100
L_m	82.82	-83.73	70.41	109.41	140
C_m	85.22	-55.9	-15.78	58.1	196
V_m	25.61	67.05	-108.87	127.87	302
M_m	58.76	91.18	-53.69	105.82	330
N_m	0.01	0.0	0.0	0.0	0
W_m	95.41	0.0	0.0	0.0	0
R_m	41.88	62.0	31.82	69.69	27
J_m	81.97	1.81	71.59	71.61	89
G_m	51.62	-41.11	11.52	42.7	164
B_m	29.2	-5.27	-49.33	49.62	264

CIELAB-Helligkeit L^*

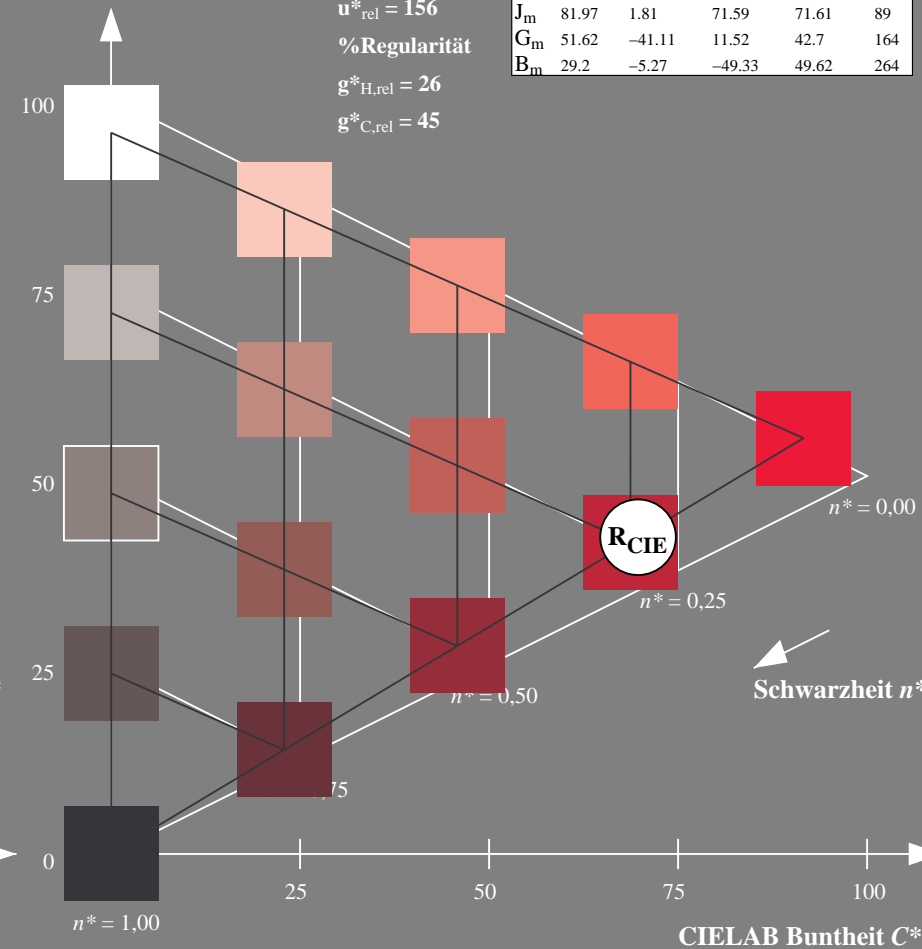
%Umfang

$u^*_{rel} = 156$

%Regularität

$g^*_{H,rel} = 26$

$g^*_{C,rel} = 45$

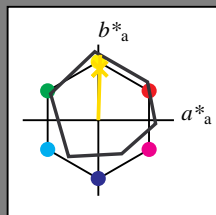


5 stufige Reihen für konstanten CIELAB Buntton $27/360 = 0.075$ (rechts)

Eingabe: Farbmétrisches Offset-Reflektiv-System ORS18

für Buntton $h^* = lab^*h = 88/360 = 0.245$
 lab^*tch und lab^*nch

D65: Buntton J
 LCH*Ma: 86 86 88
 olv*Ma: 1.0 0.9 0.0

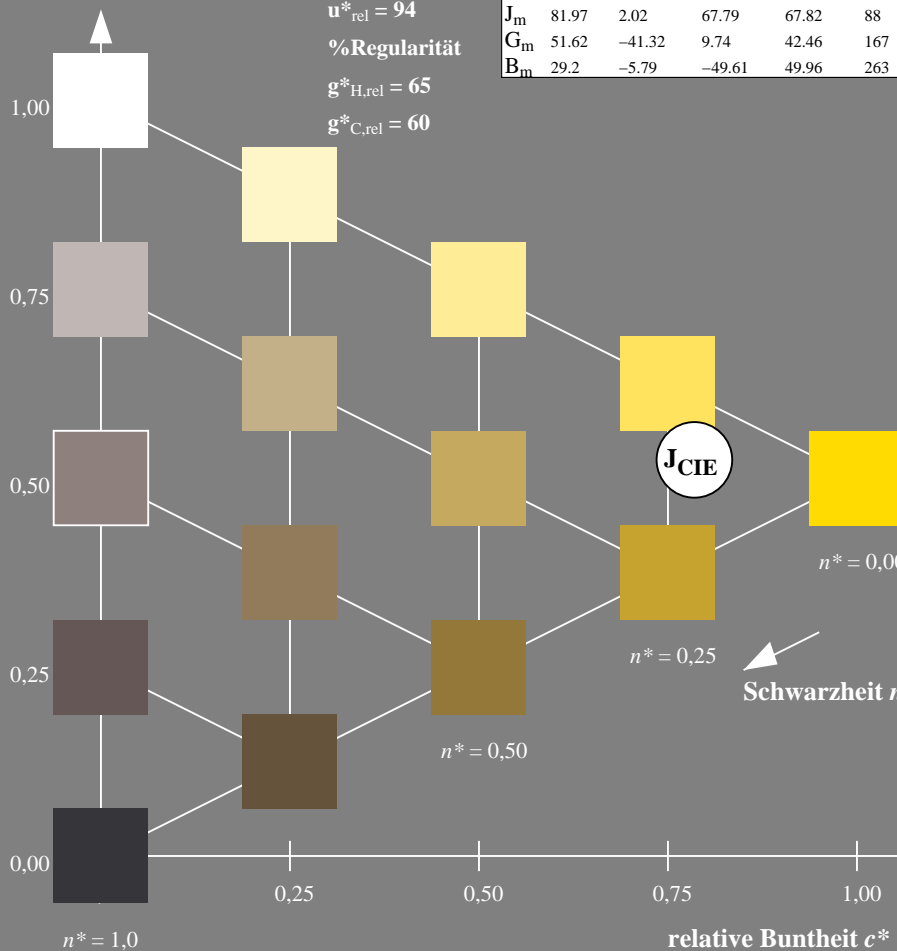


ORS18; adaptierte CIELAB-Daten

	$L^*=L^*_a$	a^*_a	b^*_a	$C^*_{ab,a}$	$h^*_{ab,a}$
O_m	47.94	65.05	50.54	82.38	38
Y_m	91.0	-4.72	90.58	90.7	93
L_m	50.9	-63.18	34.98	72.22	151
C_m	56.99	-39.34	-48.1	62.16	231
V_m	25.72	30.89	-44.4	54.09	305
M_m	49.99	75.76	-4.64	75.9	356
N_m	18.09	0.0	0.0	0.0	0
W_m	95.46	0.0	0.0	0.0	0
R_m	41.88	61.66	30.69	68.88	26
J_m	81.97	2.02	67.79	67.82	88
G_m	51.62	-41.32	9.74	42.46	167
B_m	29.2	-5.79	-49.61	49.96	263

Dreiecks-Helligkeit t^*

%Umfang
 $u^*_{rel} = 94$
 %Regularität
 $g^*_{H,rel} = 65$
 $g^*_{C,rel} = 60$

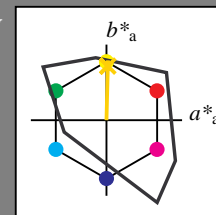


QG200-7, 5 stufige Reihen für konstanten CIELAB Bunnton $88/360 = 0.245$ (links)

Ausgabe: Farbmétrisches Fernseh-Licht-System TLS00

für Buntton $h^* = lab^*h = 89/360 = 0.246$
 LAB^*LCH, LAB^*NCH

D65: Buntton J
 LCH*Ma: 87 79 89
 olv*Ma: 1.0 0.83 0.0

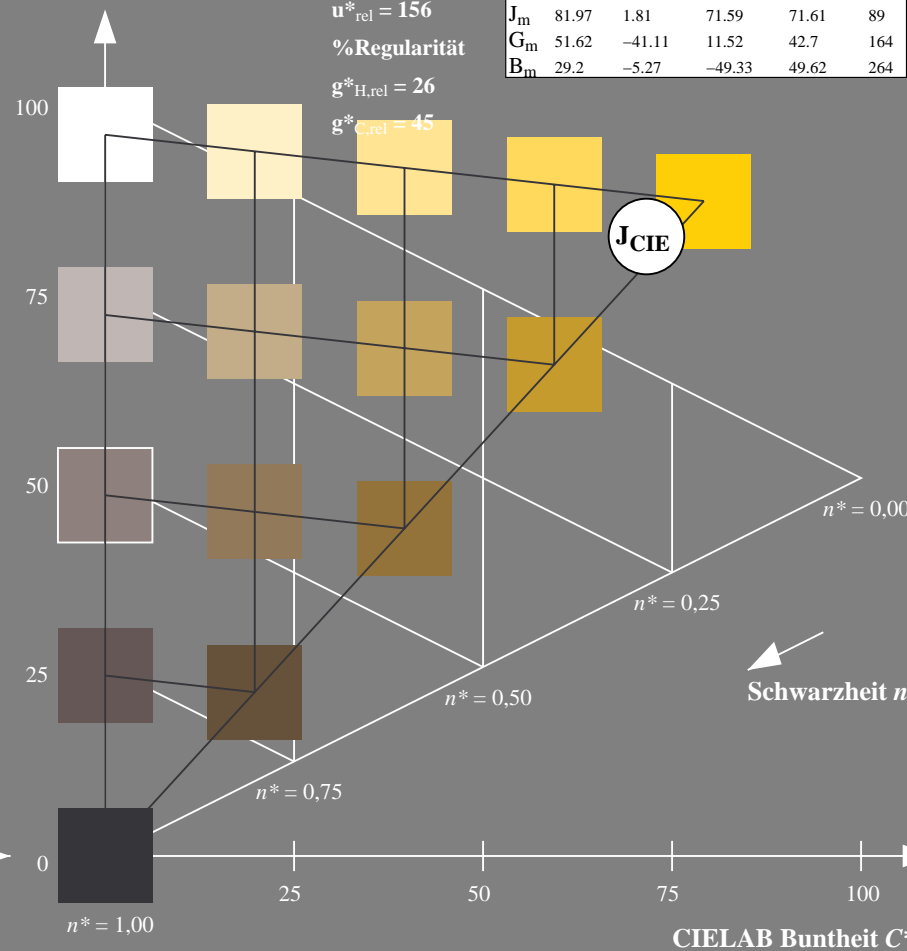


TLS00; adaptierte CIELAB-Daten

	$L^*=L^*_a$	a^*_a	b^*_a	$C^*_{ab,a}$	$h^*_{ab,a}$
O_m	54.19	79.36	63.0	101.33	38
Y_m	93.44	-14.18	82.59	83.8	100
L_m	82.82	-83.73	70.41	109.41	140
C_m	85.22	-55.9	-15.78	58.1	196
V_m	25.61	67.05	-108.87	127.87	302
M_m	58.76	91.18	-53.69	105.82	330
N_m	0.01	0.0	0.0	0.0	0
W_m	95.41	0.0	0.0	0.0	0
R_m	41.88	62.0	31.82	69.69	27
J_m	81.97	1.81	71.59	71.61	89
G_m	51.62	-41.11	11.52	42.7	164
B_m	29.2	-5.27	-49.33	49.62	264

CIELAB-Helligkeit L^*

%Umfang
 $u^*_{rel} = 156$
 %Regularität
 $g^*_{H,rel} = 26$
 $g^*_{C,rel} = 45$



5 stufige Reihen für konstanten CIELAB Bunnton $89/360 = 0.246$ (rechts)

Eingabe: Farbmatisches Offset-Reflektiv-System ORS18

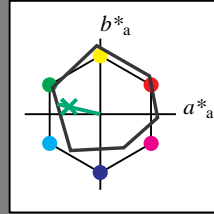
für Buntton $h^* = lab^*h = 167/360 = 0.463$

lab^*tch und lab^*nch

D65: Buntton G

LCH*Ma: 52 59 167

olv*Ma: 0.0 1.0 0.26



ORS18; adaptierte CIELAB-Daten

	$L^*=L^*_a$	a^*_a	b^*_a	$C^*_{ab,a}$	$h^*_{ab,a}$
O_m	47.94	65.05	50.54	82.38	38
Y_m	91.0	-4.72	90.58	90.7	93
L_m	50.9	-63.18	34.98	72.22	151
C_m	56.99	-39.34	-48.1	62.16	231
V_m	25.72	30.89	-44.4	54.09	305
M_m	49.99	75.76	-4.64	75.9	356
N_m	18.09	0.0	0.0	0.0	0
W_m	95.46	0.0	0.0	0.0	0
R_m	41.88	61.66	30.69	68.88	26
J_m	81.97	2.02	67.79	67.82	88
G_m	51.62	-41.32	9.74	42.46	167
B_m	29.2	-5.79	-49.61	49.96	263

Dreiecks-Helligkeit t^*

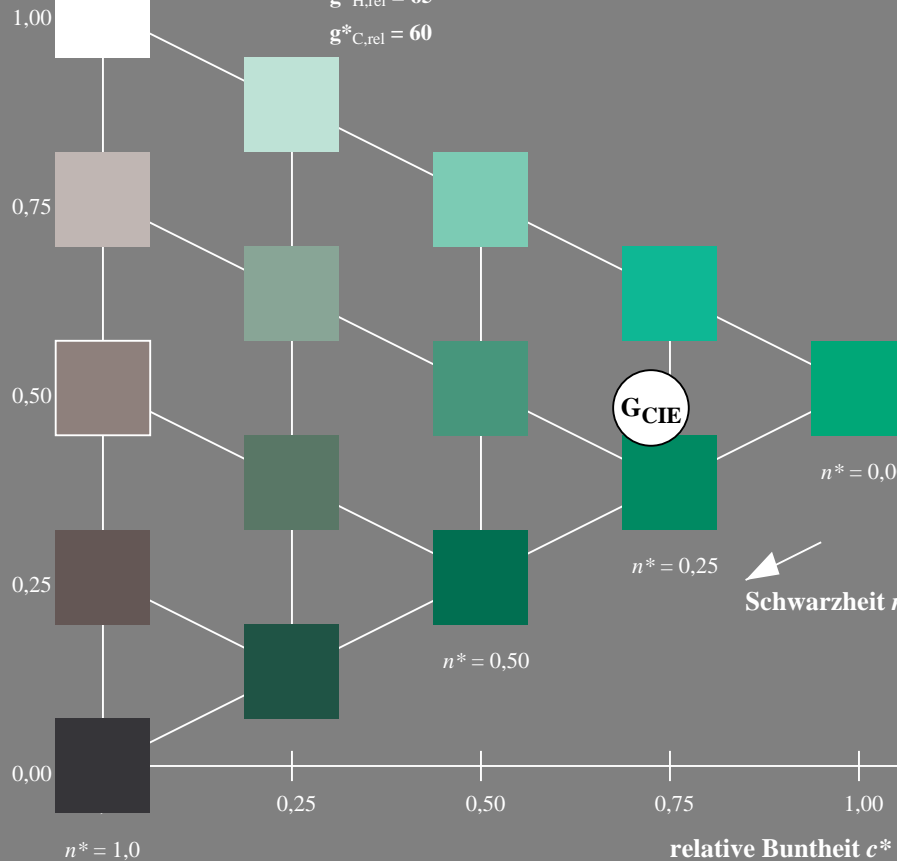
%Umfang

$u^*_{rel} = 94$

%Regularität

$g^*_{H,rel} = 65$

$g^*_{C,rel} = 60$



Ausgabe: Farbmatisches Fernseh-Licht-System TLS00

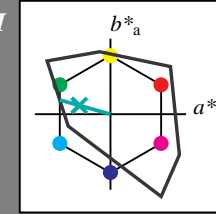
für Buntton $h^* = lab^*h = 164/360 = 0.457$

LAB^*LCH, LAB^*NCH

D65: Buntton G

LCH*Ma: 84 70 164

olv*Ma: 0.0 1.0 0.6



TLS00; adaptierte CIELAB-Daten

	$L^*=L^*_a$	a^*_a	b^*_a	$C^*_{ab,a}$	$h^*_{ab,a}$
O_m	54.19	79.36	63.0	101.33	38
Y_m	93.44	-14.18	82.59	83.8	100
L_m	82.82	-83.73	70.41	109.41	140
C_m	85.22	-55.9	-15.78	58.1	196
V_m	25.61	67.05	-108.87	127.87	302
M_m	58.76	91.18	-53.69	105.82	330
N_m	0.01	0.0	0.0	0.0	0
W_m	95.41	0.0	0.0	0.0	0
R_m	41.88	62.0	31.82	69.69	27
J_m	81.97	1.81	71.59	71.61	89
G_m	51.62	-41.11	11.52	42.7	164
B_m	29.2	-5.27	-49.33	49.62	264

CIELAB-Helligkeit L^*

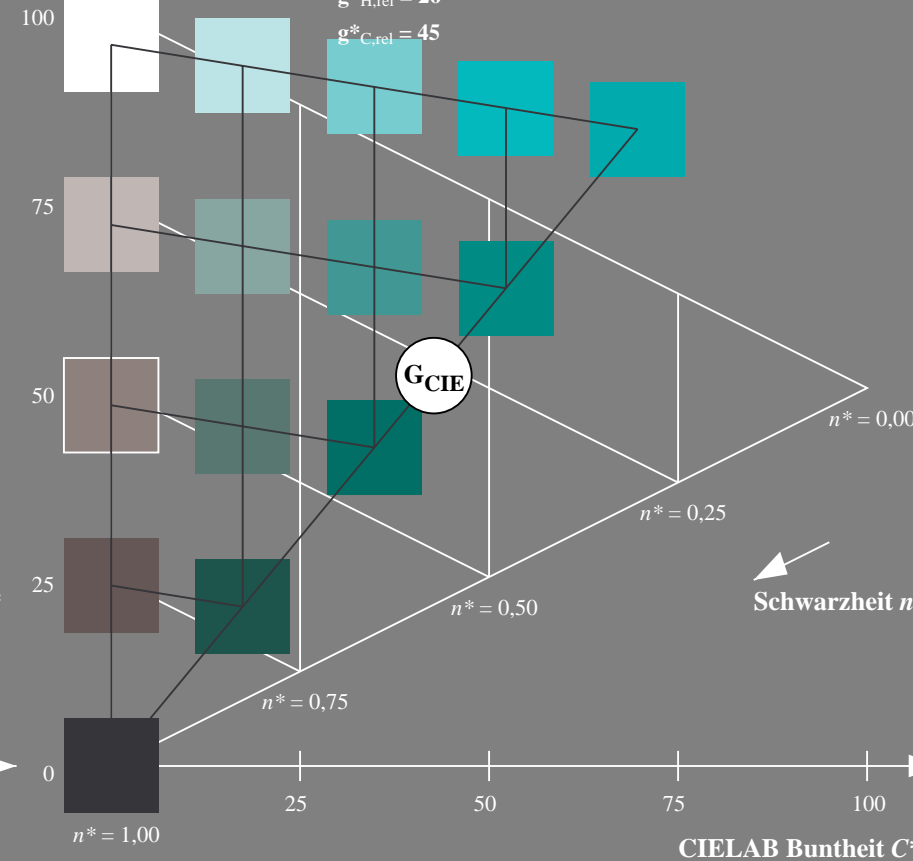
%Umfang

$u^*_{rel} = 156$

%Regularität

$g^*_{H,rel} = 26$

$g^*_{C,rel} = 45$



QG200-7, 5-stufige Reihen für konstanten CIELAB Buntton 167/360 = 0.463 (links)

5-stufige Reihen für konstanten CIELAB Buntton 164/360 = 0.457 (rechts)

BAM-Prüfvorlage QG20; Farbmatrik-Systeme ORS18 & ORS18input: *cmY0* setcmykcolor*

D50: Koordinatensysteme; 5-stufige Farbreihen für 10 Bunttöne output: *Startup (S) data dependend*

Eingabe: Farbmétrisches Offset-Reflektiv-System ORS18

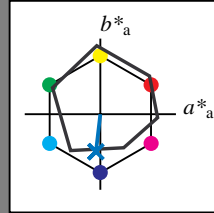
für Buntton $h^* = lab^*h = 263/360 = 0.731$

lab^*tch und lab^*nch

D65: Buntton B

LCH*Ma: 42 47 263

olv*Ma: 0.0 0.52 1.0



ORS18; adaptierte CIELAB-Daten

	$L^*=L^*_a$	a^*_a	b^*_a	$C^*_{ab,a}$	$h^*_{ab,a}$
O_m	47.94	65.05	50.54	82.38	38
Y_m	91.0	-4.72	90.58	90.7	93
L_m	50.9	-63.18	34.98	72.22	151
C_m	56.99	-39.34	-48.1	62.16	231
V_m	25.72	30.89	-44.4	54.09	305
M_m	49.99	75.76	-4.64	75.9	356
N_m	18.09	0.0	0.0	0.0	0
W_m	95.46	0.0	0.0	0.0	0
R_m	41.88	61.66	30.69	68.88	26
J_m	81.97	2.02	67.79	67.82	88
G_m	51.62	-41.32	9.74	42.46	167
B_m	29.2	-5.79	-49.61	49.96	263

Dreiecks-Helligkeit t^*

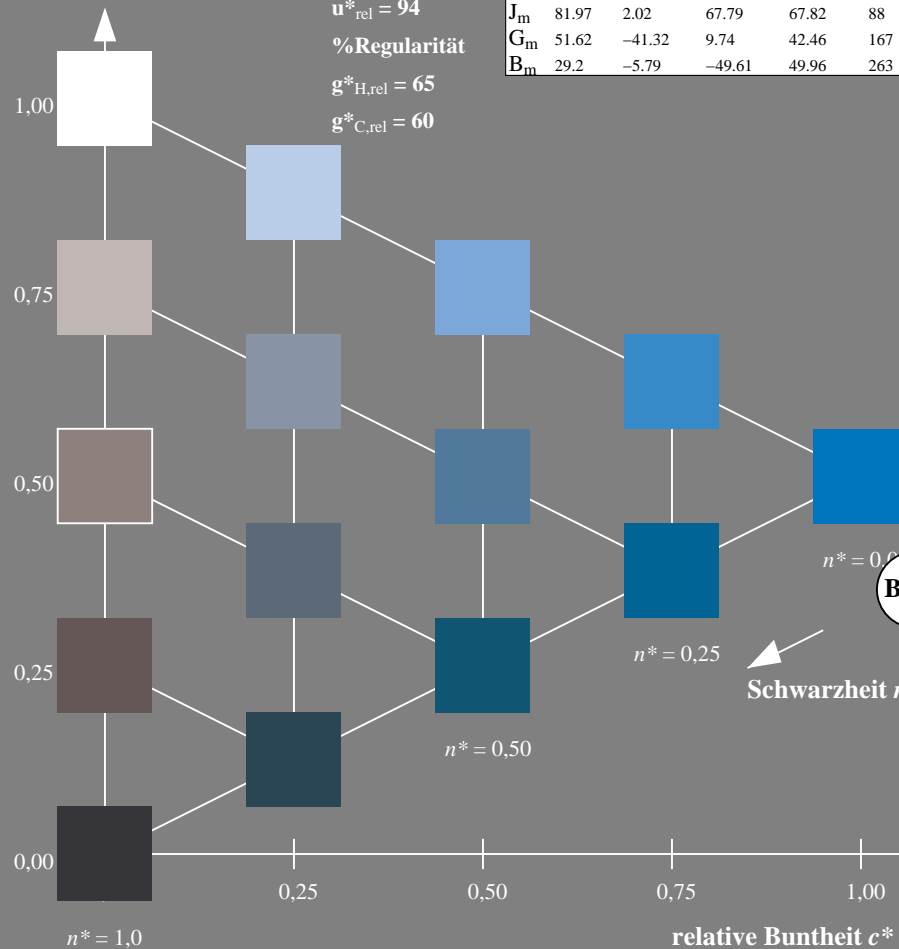
%Umfang

$u^*_{rel} = 94$

%Regularität

$g^*_{H,rel} = 65$

$g^*_{C,rel} = 60$



Ausgabe: Farbmétrisches Fernseh-Licht-System TLS00

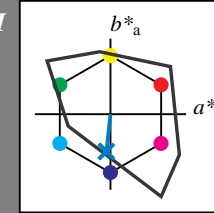
für Buntton $h^* = lab^*h = 264/360 = 0.733$

LAB^*LCH, LAB^*NCH

D65: Buntton B

LCH*Ma: 61 54 264

olv*Ma: 0.0 0.59 1.0



TLS00; adaptierte CIELAB-Daten

	$L^*=L^*_a$	a^*_a	b^*_a	$C^*_{ab,a}$	$h^*_{ab,a}$
O_m	54.19	79.36	63.0	101.33	38
Y_m	93.44	-14.18	82.59	83.8	100
L_m	82.82	-83.73	70.41	109.41	140
C_m	85.22	-55.9	-15.78	58.1	196
V_m	25.61	67.05	-108.87	127.87	302
M_m	58.76	91.18	-53.69	105.82	330
N_m	0.01	0.0	0.0	0.0	0
W_m	95.41	0.0	0.0	0.0	0
R_m	41.88	62.0	31.82	69.69	27
J_m	81.97	1.81	71.59	71.61	89
G_m	51.62	-41.11	11.52	42.7	164
B_m	29.2	-5.27	-49.33	49.62	264

CIELAB-Helligkeit L^*

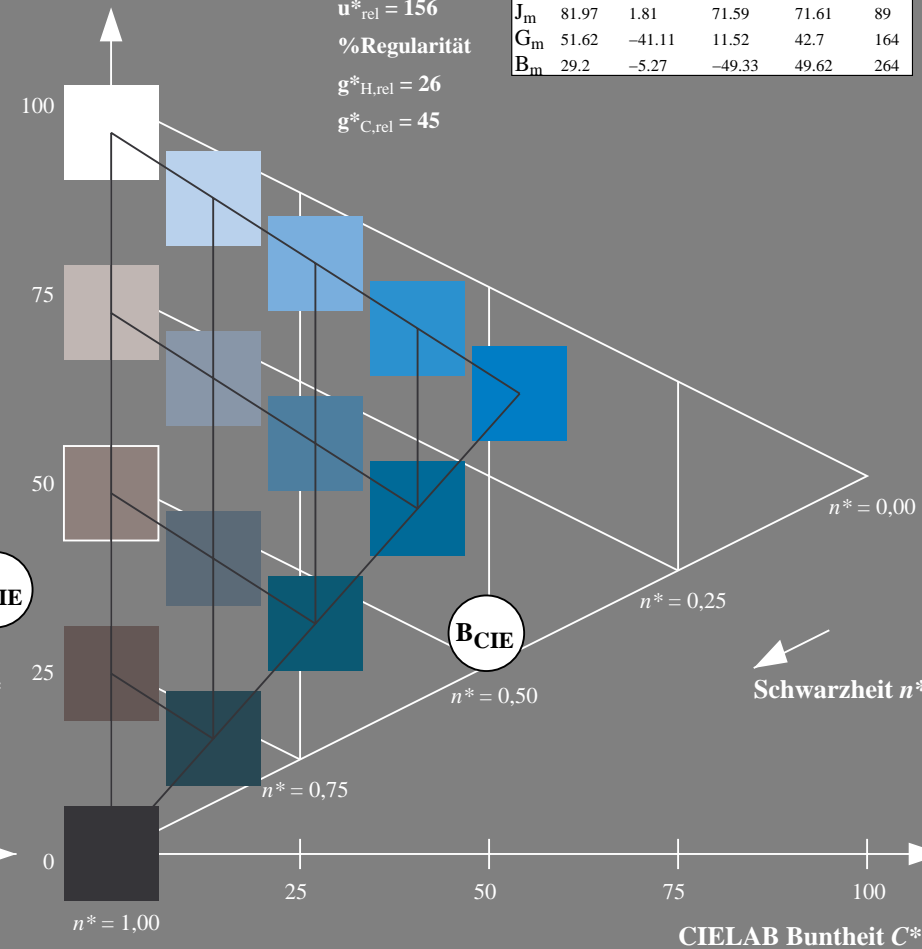
%Umfang

$u^*_{rel} = 156$

%Regularität

$g^*_{H,rel} = 26$

$g^*_{C,rel} = 45$



QG200-7, 5-stufige Reihen für konstanten CIELAB Buntton 263/360 = 0.731 (links)

5-stufige Reihen für konstanten CIELAB Buntton 264/360 = 0.733 (rechts)

BAM-Prüfvorlage QG20; Farbmétrik-Systeme ORS18 & ORS18input: $cmY0^* setcmykcolor$

D50: Koordinatensysteme; 5-stufige Farbreihen für 10 Bunttöne output: Startup (S) data dependend